

# Superficie di $\mathbb{R}^3$ .

31/10/12

Def: superficie regolare parametrizzata è

$\varphi: U \rightarrow \mathbb{R}^3$  con  $U \subseteq \mathbb{R}^2$  aperto

$$(u, v) \mapsto \varphi(u, v) = (x(u, v), y(u, v), z(u, v))$$

tale che  $\varphi$  sia un'immersione cioè:

1)  $\varphi$  sia differenziale (= esistono derivate parziali continue di tutte gli ordini);

2)  $\varphi$  sia regolare cioè  $J\varphi(u, v)$  sia di rango massimo 2  $\forall (u, v) \in U$ .

Equivalentemente, al  $\varphi: T_p \mathbb{R}^2 \rightarrow T_{\varphi(p)} \mathbb{R}^3$

è chieduta su ogni punto  $P$ , quindi la come immagine del piano

Def. più generale.

Un sottovolume  $S \neq \emptyset$  di  $\mathbb{R}^3$  è una

superficie regolare se  $\forall P \in S$ ,  $\exists U \subseteq \mathbb{R}^2$  aperto e  $\varphi: U \rightarrow \mathbb{R}^3$  immersione n.c.

$\varphi(U)$  sia un intorno aperto di  $P$  su  $S$ , omologo a  $U$ . In altre parole:

- $\varphi(U) = V \cap S$ ,  $V$  intorno aperto di  $P$

in  $\mathbb{R}^3$ ,

- $\varphi: U \rightarrow \varphi(U)$  è un'applicazione n.c.  $\exists \bar{\varphi}: \varphi(U) \rightarrow U$ , restrizione

di una mappa continua da un aperto  $W$  di  $\mathbb{R}^3$  a  $\mathbb{R}^2$  ( $W \ni \varphi(U)$ ).

( $\varphi$  è un'embedding)

- $\varphi$  è detta una parametrizzazione locale se sistema di coordinate locali su  $P$
- $\varphi(U)$  carta locale o intorno coordinato di  $P$
- Gli aperti del tipo  $\{\varphi(U)\}$  formano un ricoprimento di  $S$  con aperti del tipo  $\{V_i\}_{i \in I}$

L'insieme  $\{V_i, \varphi_i\}$  è detto atlante su  $S$ .

Per ogni carta locale  $\varphi$ ,  $\forall (u, v) \in U$

$$d_{(u,v)}\varphi: T_{(u,v)}\mathbb{R}^2 \xrightarrow{J\varphi(u,v)} T_{\varphi(u,v)}\mathbb{R}^3$$

è iniettivo

$$J\varphi = \begin{pmatrix} \frac{\partial x}{\partial u} & \frac{\partial x}{\partial v} \\ \frac{\partial y}{\partial u} & \frac{\partial y}{\partial v} \\ \frac{\partial z}{\partial u} & \frac{\partial z}{\partial v} \end{pmatrix}$$

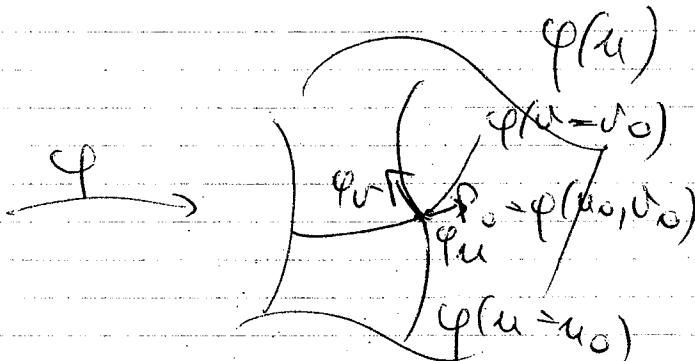
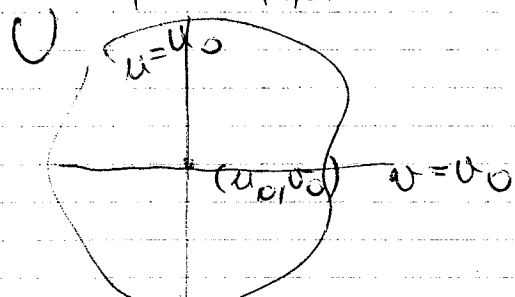
ha rango?

Le colonne sono le coordinate di:

2 vettori  $(\varphi_u, \varphi_v)$  l'uno indipendente dall'altro?

$$\varphi_u = d\varphi_{(u,v)}(1,0)$$

$$\varphi_v = d\varphi_{(u,v)}(0,1)$$



In  $\mathbb{W}$  ci sono le rette coordinate def.

da  $u=u_0$  e  $v=v_0$ , paralleli per  $(u_0, v_0)$ .

$(1,0)$  è retta di direzione di:  $v=v_0 \quad \begin{cases} u=u_0 \\ v=v_0 \end{cases}$   
 $(0,1)$  di:  $u=u_0 \quad \begin{cases} u=u_0 \\ v=v_0 \end{cases}$ .

Hanno come immagine in  $\mathbb{P}$  le curve coordinate paralleli per  $P_0 = \varphi(u_0, v_0)$ , o  
lungo  $u$  e lungo  $v$ :  $\varphi(u, v_0)$ ,  $\varphi(u_0, v)$ .

Mediante  $\varphi$  trasporto su  $S$  le coordinate del piano  $(u, v)$ .

$$d_{(u_0, v_0)} \varphi(1,0) = \left( \frac{\partial x}{\partial u}(u_0, v_0), \frac{\partial y}{\partial u}(u_0, v_0), \frac{\partial z}{\partial u}(u_0, v_0) \right)$$

rettore tang.  
all'et.  $u=u_0$   $= \varphi_u(u_0, v_0)$

prima colonna di  $J\varphi(u_0, v_0)$

$\varphi_u(u_0, v_0)$  è il vettore tang alla curva

coordinate  $\varphi(u, v_0) = (x(u, v_0), y(u, v_0), z(u, v_0))$   
funzione solo di  $u$ .

Analogamente  $\varphi_v(u_0, v_0) = d_{(u_0, v_0)} \varphi(0,1)$  è

il vettore tang alla curva coordinate

$$\varphi(u_0, v) = (x(u_0, v), y(u_0, v), z(u_0, v)).$$

La cond "  $\varphi$  regolare" garantisce che  
 $\varphi_u, \varphi_v$  non siano nidi p, generano una  
giacitura.

Def. Piano tangente vettoriale a  $S$  in  $P$   
 $\Leftrightarrow T_P S = \langle \varphi_u(u_0, v_0), \varphi_v(u_0, v_0) \rangle$ , se  $P = \varphi(u_0, v_0)$ .

Piano tangente affine è il piano affine

panante per  $P$  di giacitura  $T_P S$

La def. potrebbe dipendere dalla particolare carta locale scelta. Si dà una seconda def. equivalente, più utile.

Data  $S$ , s.p. regolare in  $\mathbb{R}^3$ , una curva in  $S$  è una curva regolare  $\alpha: I \rightarrow \mathbb{R}^3$  la cui traccia è contenuta in  $S$

$$\alpha: I \rightarrow S \subset \mathbb{R}^3$$

Se  $\alpha(I)$  è tutta contenuta in una carta locale  $\varphi(U)$ , si ha il diagramma:

$$\begin{array}{ccc} I & \xrightarrow{\alpha} & \varphi(U) \hookrightarrow S \\ & \searrow \varphi \circ \alpha & \uparrow \varphi^{-1} \quad \nearrow \\ & U & \end{array}$$

Per ip.  $\beta$  continua  $\varphi^{-1}: \varphi(U) \rightarrow U$   
 $(x, y, z) \rightarrow u(x, y, z), v(x, y, z)$   
continua

Allora  $\varphi \circ \alpha: I \rightarrow U$  è una curva

$\varphi \circ \alpha: t \xrightarrow{\alpha} \alpha(t) \xrightarrow{\varphi^{-1}} \varphi(\alpha(t))$ , continua in  $\mathbb{R}^2$   
 $(x(t), y(t), z(t)) \rightarrow u(x(t), y(t), z(t)), v(x(t), y(t), z(t))$   
 $(u(t), v(t))$

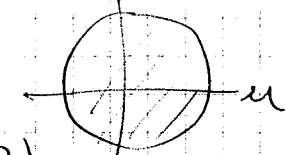
curva primitiva

$(u(t), v(t))$  è una coppia di funzioni  
 $t \mapsto \varphi(u(t), v(t)) = \alpha(t)$ .

Ese.  $S^2$  sfera unitaria in  $\mathbb{R}^3$  def.  
come  $\{(x_1, y_1, z) \in \mathbb{R}^3 \mid x_1^2 + y_1^2 + z^2 = 1\}$

$\varphi: U \rightarrow S^2 \subset \mathbb{R}^3$  è una carta locale  
 $(u, v) \rightarrow (u, \sqrt{1-u^2-v^2}, v)$  regolare

con  $U$  def. da  $1-u^2-v^2 > 0$



Prendo  $\alpha: \mathbb{R} \rightarrow S^2$   
 $t \rightarrow (\cos t, \sin t, 0)$

$$\begin{matrix} \uparrow \varphi & \downarrow \varphi^{-1} \\ U & \end{matrix}$$

$(x_1, z)$

$\varphi \circ \alpha: t \rightarrow (\cos t, \sin t, 0) \rightarrow (\cos t, 0)$  param.  
di un segmento dell'asse  $u$ .

$\varphi(U) \subset S \cap \{y > 0\}$

per  $I = (0, \pi) \Rightarrow \alpha(I) \subset \varphi(U)$  e

$\varphi \circ \alpha$  è ben def.

Def. Un vettore tangente  $v$  a  $P_0 \in \mathbb{R}^3$  si dice tangente a  $S$  in  $P_0$  se  $\exists \alpha(t) \subset S$  regolare h.c.  $\alpha(t_0) = P_0$  e  $\alpha'(t_0) = v$ .

Teorema I vettori tangenti a  $S$  in  $P_0$

formano un piano rettangolare in  $\mathbb{R}^3$ .

$\varphi(U, \varphi)$  è una carta locale in  $P_0$  h.c.

$P_0 = \varphi(u_0, v_0)$ , allora tale piano risulta

$$T_{P_0} S = \langle \varphi_u(u_0, v_0), \varphi_v(u_0, v_0) \rangle.$$

Dim.: Sia  $w = \alpha'(t_0)$ , tang. in  $P_0 = \alpha(t_0)$  ad  $\alpha$ .

Sia  $\varphi(\alpha(t)) = (u(t), v(t))$ ,  $(u_0, v_0) = (u(t_0), v(t_0))$ .

$$\alpha(t) = \varphi(u(t), v(t))$$

Allora  $\alpha'(t) = \varphi_u(u(t), v(t)) u'(t) + \varphi_v(u(t), v(t)) v'(t)$ ,

$$w = \alpha'(t_0) = \varphi_u(u_0, v_0) u'(t_0) + \varphi_v(u_0, v_0) v'(t_0).$$

Vicm. sia  $w = \lambda \varphi_u(u_0, v_0) + \mu \varphi_v(u_0, v_0)$ .

Cerco una curva in  $U$ , parallela per  $(u_0, v_0)$  passante da  $(u(t), v(t))$ , tra cui  $(u_0, v_0) = (u(t_0), v(t_0))$

$$\lambda = u'(t_0)$$

$$\mu = v'(t_0).$$

Basta prendere la retta

$$u(t) = \lambda t + u_0$$

$$v(t) = \mu t + v_0.$$

Allora  $\alpha(t) = \varphi(\lambda t + u_0, \mu t + v_0)$ .

On 1 lo sviluppo di Taylor di  $\varphi(u, v)$

mostra che il piano  $T_P \varphi$  è l'approssimazione lineare.

$$\varphi(u, v) = \varphi(u_0, v_0) + \varphi_u(u_0, v_0)(u - u_0) + \varphi_v(u_0, v_0)(v - v_0) +$$

On 2  $T_P \mathbb{R}^n$  è lo spazio minimo dell'etensione tangente alle curve reg. di  $\mathbb{R}^n$  per  $P$ .

Esempi:

1) Piano per  $P_0(x_0, y_0, z_0)$  di giacitura  $\langle u, v \rangle$ .

$$x = x_0 + uw + vw'$$

$$y = y_0 + uw_2 + vw_2'$$

$$z = z_0 + uw_3 + vw_3'$$

$$\varphi(u, v) = P_0 + uw + vw'$$

$$J\varphi = \begin{pmatrix} w_1 & w_1' \\ w_2 & w_2' \\ w_3 & w_3' \end{pmatrix} \quad \varphi: \mathbb{R}^2 \rightarrow \mathbb{R} \text{ simmetrica}$$

$\exists \tilde{\varphi}^*$ : il sistema  $\overset{(x)}{\leftarrow}$  ha soluzione  $u^*(u, v)$  perché  $\varphi$  è invertibile,  $\Rightarrow J\varphi = 2 \Rightarrow$  hs

1! soluzione che non calcolare con Cramer

$$u = \frac{|x-x_0 \quad w_1'|}{|y-y_0 \quad w_2'|} \quad v = \frac{|w_1 \quad x-x_0|}{|w_2 \quad y-y_0|}$$

$$\frac{|w_1 \quad w_1'|}{|w_2 \quad w_2'|}$$

se il denominatore è  $\neq 0$ .

2) Sfera  $S^2$

a) 6 carte, parate di Monge

$$\varphi_1: U \rightarrow \mathbb{R}^3$$

$$(x, y) \rightarrow (x, y, \sqrt{1-x^2-y^2})$$

$$\text{con } U = \{(x, y) \mid x^2+y^2 < 1\}$$

$\varphi_1(U)$  = calottaolare  $z \geq 0$ , emisfero sup.

$$(\varphi_1)_x = \left( 1, 0, \frac{x}{\sqrt{1-x^2-y^2}} \right)$$

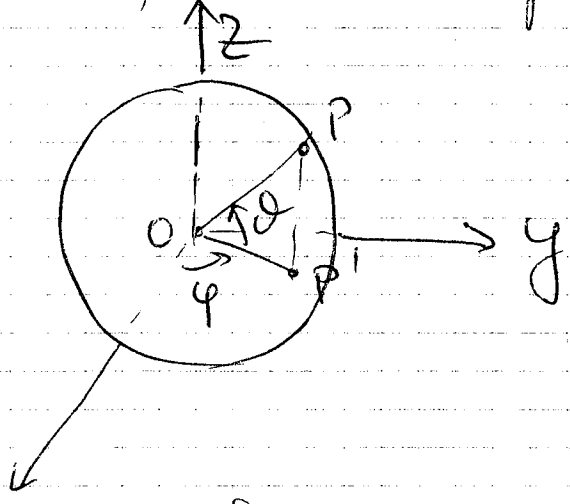
$$(\varphi_1)_y = \left( 0, 1, \frac{y}{\sqrt{1-x^2-y^2}} \right)$$

$$\Rightarrow \text{rk } J\varphi_1 = 2.$$

$$\varphi_1: (x, y, z) \rightarrow (x, y) \text{ continua.}$$

In modo analogo le altre 5 carte, tutte def. su  $U$ , che ricoprono  $S^2$ .

b) Coordinate polari.



Punto  $P \in S^2$ ,  $P'$  la sua

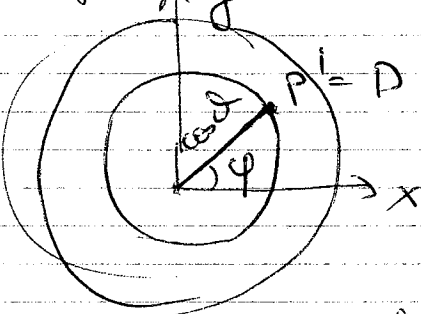
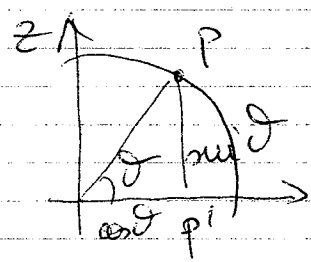
proiez. ortogonale sul  
piano  $z=0$ ;  $\varphi$  è l'angolo  
tra  $(1,0)$  e  $\overrightarrow{OP'}$  in senso  
anticlockwise;  $\theta$  è l'angolo  
tra  $\overrightarrow{OP'}$  e  $\overrightarrow{OP}$

$$x \quad (\theta, \varphi) \in U = \left(-\frac{\pi}{2}, \frac{\pi}{2}\right) \times (0, 2\pi)$$

$F \downarrow$

$$(\cos \theta \cos \varphi, \cos \theta \sin \varphi, \sin \theta)$$

$\theta$  latitudine,  $\varphi$  longitudine



sez. verticale

$P$  sta nella sif di  
centro  $O$  e raff  $r \cos \theta$

$$F(U) = S^2 - C \text{ dove } C = \text{sezione sul}$$

piano  $y=0$  con  $x \geq 0$ .

$$\int F = \begin{pmatrix} -\sin \theta \cos \varphi & -\cos \theta \sin \varphi \\ -\sin \theta \sin \varphi & \cos \theta \cos \varphi \\ \cos \theta & 0 \end{pmatrix}$$

con minori:  $-\sin \theta \cos \varphi$

$\cos^2 \theta \sin \varphi$  se  $\cos \theta$  non è  
 $\cos^2 \theta \cos \varphi$  se  $\cos \theta = 0$

qui di  $\vartheta$  è regolare.

Invertibilità di  $F$ :  $z = \sin \vartheta$ , e  $\sin \vartheta$  è crescente su  $(-\frac{\pi}{2}, \frac{\pi}{2})$  quindi  $\vartheta = \arcsin z$ , continua.

Poi

$$x = \cos \vartheta \cos \varphi = \sqrt{1-z^2} \cos \varphi$$

$$y = \cos \vartheta \sin \varphi = \sqrt{1-z^2} \sin \varphi$$

$$\frac{x}{y} = \tan \varphi \quad \text{e} \quad \frac{x}{y} = \operatorname{arctan} \varphi \quad \text{ciò più}$$

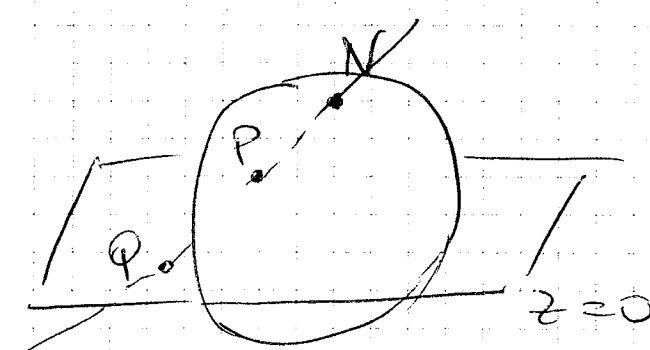
punto una almeno delle 2 è diff.

$$\text{e quindi } \varphi = \operatorname{arctan} \frac{x}{y} \text{ opp. } \operatorname{arctan} \frac{y}{x}.$$

Per ricoprire  $S^2$  serve una seconda carta simile, per es con  $\frac{\pi}{2} < \varphi < 2\pi + \frac{\pi}{2}$ , ma restano fuori i poli nord e sud; + una carta con permute di  $x, y, z$ .

c) Proiezione stereografica

$N(0,0,1)$  polo nord



$P_N$  è l'apolliez. da  $N$

sul piano  $xy \cong \mathbb{R}^2$

$$P_N: P \rightarrow P_N \cap z=0$$

$N$

$P(x_0, y_0, z_0)$

$P_N \mid \begin{cases} x = tx \\ y = ty \end{cases}$

$$z = 1+t(z_0 - 1) = 0 \quad t = \frac{1}{1-z_0}$$

$$P_N: (x_0, y_0, z_0) \longrightarrow \left( \frac{x_0}{1-z_0}, \frac{y_0}{1-z_0} \right)$$

$p_N$  è suriettiva e  $p_N^{-1} : Q \rightarrow (Q \cap S^2) \setminus N$

$$Q = (u, v)$$

$$\begin{aligned} Q \cap & \left\{ \begin{array}{l} x=ut \\ y=vt \\ z=1-t \end{array} \right. & Q \cap S^2 : u^2 + v^2 + (1-t)^2 = 1 \\ & \Rightarrow t^2(u^2 + v^2 + 1) - 2t = 0 \end{aligned}$$

$$t=0 \text{ da } N$$

$$t = \frac{2}{u^2 + v^2 + 1} \text{ da } p_N(Q) = \left( \frac{2u}{u^2 + v^2 + 1}, \frac{2v}{u^2 + v^2 + 1}, \frac{u^2 + v^2 - 1}{u^2 + v^2 + 1} \right)$$

Si prende  $\varphi = p_N^{-1} : \mathbb{R}^2 \rightarrow S^2 \setminus N$ .

Calcolare  $J\varphi$ .  $\varphi^{-1} = p_N$  è continua.

Come seconda carta si prende la proiez. dal polo sud  $P_S$

3) Quadriche = sottovolume di  $\mathbb{R}^3$  che si possono rappresentare come  $\{(x, y, z) \mid F(x, y, z) = 0\}$  con  $F$  pol. di 2° grado.

Esempi:

a) eliudio circolare retto

$$x^2 + y^2 = 1$$

$$\varphi(u, v) = (\cos u, \sin u, v), \quad u \in (0, \pi), \quad v \in \mathbb{R}$$

$$J\varphi = \begin{pmatrix} -\sin u & 0 \\ \cos u & 0 \\ 0 & 1 \end{pmatrix} \quad \begin{array}{l} u \text{ opp. punto} \\ \text{almeno un minor} \end{array}$$

$$\varphi(v) = S^2 \text{ retta}$$

a) sono quadriche

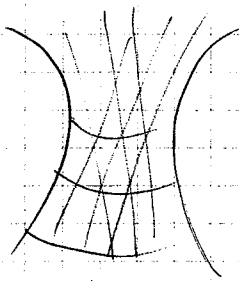
$$x^2 + y^2 = z^2 \quad +z = z_0, \text{ olio una}$$

$$\varphi(z, t) \quad \begin{cases} x = z \cos t \\ y = z \sin t \\ z = z \end{cases}$$

$$J\varphi = \begin{pmatrix} -z \sin t & \cos t \\ z \cos t & \sin t \\ 0 & 1 \end{pmatrix}$$

e regolare per  $z \neq 0$   
non è escluso il  
vertice.

c)  $x^2 + y^2 = z^2 + 1$  iperboloidi a due faldae  
 $z = \pm \sqrt{x^2 - y^2 + 1}$  e carte analoghe



L'equazione si può ricavare  
nella forma:

$$x^2 - z^2 = 1 - y^2, \text{ ossia}$$

$$(x-z)(x+z) = (1-y)(1+y)$$

$$\begin{vmatrix} x-z & 1-y \\ 1+y & x+z \end{vmatrix} = 0$$

Da questa ~~eqs~~ espressione segue che per ogni  
punto della superficie passano 2 rette  
 contenute in  $S$ . Infatti se  $P(x_0, y_0)$ ,

$\exists [\lambda, \mu]$  t.c.

$$[\lambda', \mu']$$

$$\mu(x-z) = \lambda(1+y)$$

$$\lambda(x-z) = \mu'(1-y)$$

$$\mu(1-y) = \lambda(x+z)$$

$$\mu'(1+y) = \mu'(x+z)$$

Ho così 2 famiglie di rette, a cascata  
parametrizzata da  $\overline{\mathbb{P}^2 \setminus \{(0,0)\}} = \overline{\mathbb{P}^1_B}$ .

l'intersezione di  $S$  con il piano  $y=0$   
è la curva di equazione  $x^2 - z^2 = 1$ ,  
cioè un'iperbole.

a)  $x^2 + y^2 = z^2 - 1$  iperboloido a 2 falce  
 ha punti solo  $|z| \geq 1$   
 non è connesso

$S \cap \{y=0\}$  è l'iperbole  $x^2 - z^2 = -1$

c) e d) sono superficie di rotazione.

4) Sviluppare delle tangenti di una curva.

$\alpha(t): I \rightarrow \mathbb{R}^3$  curva regolare

Def:  $\varphi(t, u) = \alpha(t) + u\alpha'(t)$ ,  $(t, u) \in I \times \mathbb{R}$

$$\begin{pmatrix} x' + ux'' & x' \\ y' + uy'' & y' \\ z' + uz'' & z' \end{pmatrix}$$

$$\varphi_t = \alpha'(t) + u\alpha''(t)$$

$$\varphi_u = \alpha''(t)$$

$\varphi_t, \varphi_u$  sono lin. indip.  $\Rightarrow \varphi_t \wedge \varphi_u \neq 0$

$$\varphi_t \wedge \varphi_u = (\alpha' + u\alpha'') \wedge \alpha' = u \alpha'' \wedge \alpha' = u$$

quella dove  $u=0$  punti della curva,

e dove  $\alpha' \wedge \alpha'' = 0$  tangentti di flex

E' una curva differenziale parzialmente regolare,  
 non regolare nei punti di  $\alpha(t)$  e lungo le  
 tangentti di flex. Non è detto che  
 $\varphi$  sia un'ellisse.

E' un esempio di superficie rigata

## 5) Superficie di rotazione.

Si dà una curva regolare  $\alpha(t) = (x(t), z(t))$  nel piano  $xz$ , contenuta nel semipiano  $x > 0$ . La facciamo ruotare intorno all'asse  $z$ :

$$\varphi(u, v) \in \begin{cases} x(u, v) = x(u) \cos v \\ y(u, v) = x(u) \sin v \\ z(u, v) = z(u) \end{cases}$$

$\varphi$  è una regolare dove  $x(u) \neq 0$  (ma non  $x > 0$ ) e dove  $x'(u) = z'(u) = 0$  (onia se  $x(u) \neq 0$ , ma  $\alpha$  è regolare).

In particolare, consideriamo la circonference di centro  $(R, 0)$  e raggio  $r$ , con  $R > r$ .

$$\begin{cases} x(t) = R + r \cos t \\ z(t) = r \sin t \end{cases} \Rightarrow \begin{cases} x(u, v) = (R + r \cos u) \cos v \\ y(u, v) = (R + r \cos u) \sin v \\ z(u, v) = r \sin u \end{cases}$$

### Esercizio.

Per vedere che i due iperelli (di c) o (d) sono superficie di rotazione.

### Criteri di regolarità

1)  $f: U \rightarrow \mathbb{R}$  funzione diff.,  $U \subset \mathbb{R}^2$  aperto

Sia  $S$  il grafico di  $f$ :

$$\{(x, y, f(x, y)) \mid (x, y) \in U\} \subset \mathbb{R}^3$$

$S$  è una superficie regolare in  $\mathbb{R}^3$ .

Dimo: S è l'immagine di

$$\varphi: U \longrightarrow S \subset \mathbb{R}^3$$

$$(u, v) \longrightarrow (u, v, f(u, v))$$

$$J\varphi = \begin{pmatrix} 1 & 0 \\ 0 & 1 \\ f_u & f_v \end{pmatrix} \text{ di rango cost 2}$$

$$\varphi^{-1}: S \longrightarrow U \text{ è continua.}$$

$$(x, y, z) \longrightarrow (x, y)$$

una parametrizzazione locale di questo tipo è detta "di Mouge".

Es. le 6 carte locali del piano attante considerato per  $S^2$ .

2. Sia  $f: U \longrightarrow \mathbb{R}$  una funz.

$$\mathbb{R}^3$$

differenziale  $f(x, y, z)$ .

Sia  $a \in f(U) \subset \mathbb{R}$ :  $a$  è detto valore regolare di  $f$  se  $\exists P \in U$  t.c.  $f(P) = a$

(cioè  $P \in f^{-1}(a)$ ) si ha: gradiente di  $f \neq 0$ , cioè  $\nabla(f)(P) = (f_x(P), f_y(P), f_z(P)) \neq (0, 0, 0)$ .

Teorema Se  $a$  è un valore regolare di  $f$ , allora  $S = f^{-1}(a)$  è una s.p. regolare, detta superficie di livello a di  $f$ .

Oss. L'hyp.  $\nabla f(P) \neq (0, 0, 0)$  equivale a "f differenziale di f è invertibile".

Dim. Sia  $a = f(P)$ ,  $\text{supp. } f_z(P) \neq \emptyset$ .

Consideriamo l'app.

$$F: U \xrightarrow{\quad} \mathbb{R}^3$$

$$(x, y, z) \mapsto (x, y, f(x, y, z))$$

$$JF(P) = \begin{pmatrix} 1 & 0 & 0 \\ 0 & 1 & 0 \\ f_x & f_y & f_z \end{pmatrix} \text{ e quindi}$$

$$|JF(P)| \neq 0.$$

Ora vediamo il

Teorema della funzione inversa.

Sia  $F: U \subset \mathbb{R}^m \rightarrow \mathbb{R}^n$  una funz. differenziale  
def. nell'aperto  $U$ . Supp. che  $u \in P \subset U$

il differenziale  $d_P F: T_P \mathbb{R}^n \xrightarrow{T_F(P)} \mathbb{R}^n$  sia  
un isomorfismo, cioè  $|JF(P)| \neq 0$ .

Allora esistono intorni  $V_P \subset U$  di  $P$  e

$W_{F(P)} \subset \mathbb{R}^n$  di  $F(P)$  t.c.  $F|: V_P \rightarrow W_{F(P)}$   
ammetta inversa differenziale.

Dunque  $F|: V_P, W_{F(P)}$  t.c.

$F|: V_P \rightarrow W_{F(P)}$  è invertibile, con  
inversa  $F^{-1}: W_{F(P)} \rightarrow V_P$  differenziale.

Scribo  $F$  nella forma:

$$F \left\{ \begin{array}{l} u = x \\ v = y \\ t = f(x, y, z) \end{array} \right. \quad F: (x, y, z) \rightarrow (x, y, f(x, y, z))$$

Allora esiste una funzione differ.  $g: W_{F(P)} \rightarrow \mathbb{R}$  t.c  
 $\tilde{F}: (u, v, t) \rightarrow (x, y, g(x, y, t))$

$$\begin{array}{ccc} & \uparrow & \\ W_{F(P)} & & \begin{array}{c} x \\ y \\ z \end{array} \end{array}$$

e si ha:  $z = g(x, y, f(x, y, z))$  perchè:

$$(x, y, z) \xrightarrow{F} (x, y, f(x, y, z)) \xrightarrow{\tilde{F}^{-1}} (x, y, g(x, y, f(x, y, z)))$$

$$\tilde{F} \circ F = 1_{V_p}$$

Ora definisco  $g(u, v, a) =: h(u, v)$ ;

$h$  è differenziabile, definita sulla proiezione  $W'$  di  $W_{F(P)}$  in  $\mathbb{R}^2$

$$\begin{array}{ccc} W & \xrightarrow{F(P)} & W' \\ (x, y, z) & \longrightarrow & (x, y) \end{array}$$

Il grafico di  $h$  è:

$$\begin{aligned} & \{(x, y, h(x, y)) \mid (x, y) \in W'\} = \\ & = \{(x, y, g(x, y, a)) \mid (x, y) \in W'\} = \\ & = \{(x, y, z) \mid (x, y) \in W', z = g(x, y, a)\} = \\ & = \{\tilde{F}(x, y, a) \mid (x, y, a) \in W_{F(P)}\} \\ & = \{(x, y, z) \in V_p \mid F(x, y, z) = (x, y, a)\} = \\ & \qquad \qquad \qquad (x, y, f(x, y, z)) \end{aligned}$$

$$= \{(x, y, z) \in V_p \mid f(x, y, z) = a\}$$

$= \tilde{f}(a) \cap V_p$ : questo può essere preso come u.toms coordinate di  $P$  su  $f(a)$  un parametrizzazione di Monge relativa alla funz.  $h(x, y)$ .

Esempi di questa situazione sono le quadriche a) c) d) e molte superfici algebriche, omia date da un'equazione  $F(x, y, z) = 0$ , dove  $F \in \mathbb{R}[x, y, z]$ .

Il problema è che 0 sia un valore regolare. Nel caso b):  $F = x^2 + y^2 - z^2 = 0$ , 0 non è valore regolare:  $\nabla F = (2x, 2y, -2z)$  si annulla in  $(0, 0, 0)$ , con  $F(0, 0, 0) = 0$ : il criterio non si applica.

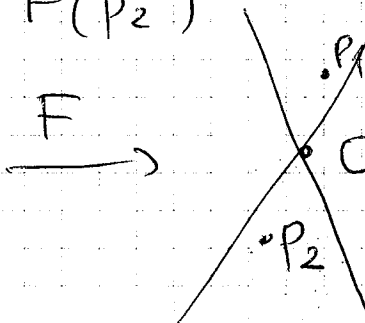
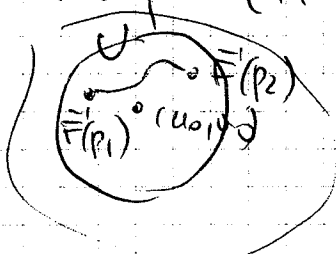
La cond. trovata è suff. ma non necessaria: es.  $G = (x^2 + y^2 + z^2 - 1)^2 = 0$   
 $\nabla G = (2(x^2 + y^2 + z^2 - 1)) (2x, 2y, 2z)$ .

Tuttavia il cono  $S: x^2 + y^2 - z^2 = 0$  non è regolare in 0. Se lo fosse, esisterebbe una parametrizaz. regolare

$F: U \rightarrow S \cap V$ ,  $U \subset \mathbb{R}^3$ , con

$F$  omomorfismo.

sia  $(u_0, v_0) = F(0, 0, 0)$ ;  $U$  è aperto  
 $\Rightarrow \exists U' \subset U$  disco aperto di centro  $(u_0, v_0)$ ,  
e  $F(U') = S \cap V$ .  $V'$  intorno di  $(0, 0, 0)$   
in  $\mathbb{R}^3 \Rightarrow \exists$  punti in  $V'$  con  $z > 0$  e punti  
con  $z < 0$  → ne scelgo 2  $P_1$  e  $P_2$ ;  
mentre  $F(P_1) \in \bar{F}(P_2)$



Si può trovare un caso in cui la costruzione non funziona.

ma quando lo compongo con  $F$  deve passare per  $(0,0,0)$ , per il tron. dell' valor medio, perché nel  $S$   $(0,0,0)$  è l'unico punto con  $z=0$ . Ho così un amodo,

Vale il seguente importante

### Teorema

$S \subset \mathbb{R}^3$  sia una sup regolare. Allora  $S$  è localmente il grafico di una funzione differenziale:  $\forall P \in S \exists V$  intorno aperto di  $P$  in  $S$  di uno dei seguenti tipi:  $z = f(x,y) \circ y = g(x,z) \circ x = h(y,z)$ .

Dim: (caso)

Sia  $\varphi$  una carta locale in  $P$ . Si ha  $J\varphi(u_0, v_0) \neq 0$ , allora un minore  $\epsilon x^2$ , per esempio  $J\varphi|_{x,y}(u_0, v_0) \neq 0$ .

Allora considera la componsta di  $\varphi$  con la proiezione sul piano  $(x,y)$ :

$$(u,v) \xrightarrow{\varphi} (x(u,v), y(u,v), z(u,v)) \xrightarrow{\pi} (x(u,v), y(u,v))$$

$J(\pi \circ \varphi)(u_0, v_0) \neq 0 \Rightarrow \exists$  l'inversa di  $\pi \circ \varphi$  differenziale in un intorno  $(u_0, v_0)$ .

$\Rightarrow$  esistono funz. diff.  $u(x,y), v(x,y)$ , e poi si considera  $z(u(x,y), v(x,y))$   
 $\quad \quad \quad z(x,y)$ .

Come corollario si può dim. che se  $S$  è una sup. regolare e  $\varphi: U \rightarrow S$

è un'applicazione differenziabile, inoltre è regolare, allora  $\tilde{\varphi}'$  è necessariamente continua.  
(senza dim.)

Funzioni sulle mappe regolari.

Sia  $f: S \rightarrow \mathbb{R}$  un'applicazione = funzione su  $S$ .

Def. Sia  $P \in S$ .  $f$  si dice differenziale in  $P$  se l'espressione di  $f$  in coordinate locali è differenziale in un intorno di  $P$ .

Ora: se  $\varphi: V \rightarrow \varphi(V) \subset S$  è una

intorno coordinato di  $P$ , dovrà avere che

$$V \xrightarrow{\varphi} \varphi(V) \xrightarrow{f|} \mathbb{R} \quad (u, v) \xrightarrow{\varphi(u, v)} f(\varphi(u, v))$$

$f \circ \varphi$  è differenziale in  $\varphi'(P)$

$f(\varphi(u, v)) = f(u, v)$  è l'espressione in coordinate locali.

Che cosa succede se cambia carta locale?

2 carte locali sono legate da un cambiamento di coordinate.

$$\begin{array}{ccc} U & \xrightarrow{\varphi} & S \\ V & \xrightarrow{\psi} & \end{array}$$

$$(u, v) \xrightarrow{\varphi} \varphi(u, v)$$

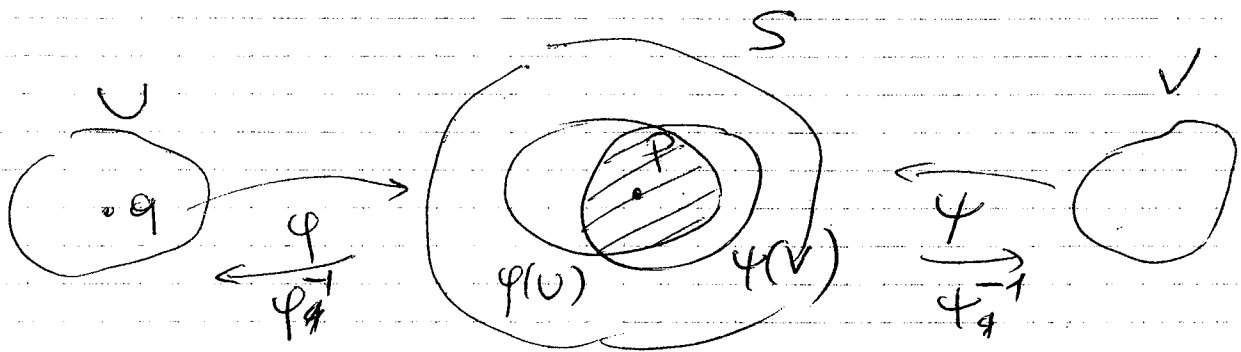
$$\xrightarrow{\psi} \psi(u, v)$$

sono 2 carte locali

in  $P$ , cioè  $W = \varphi(U) \cap \psi(V)$  intorno aperto di  $P$ .

Su  $W$  sono definite

$$\tilde{\varphi}' \text{ e } \tilde{\varphi}^{-1}$$



I cambiamenti di coordinate sono  $h := \bar{\varphi}' \circ \varphi$   
 (def. su  $\bar{\varphi}^{-1}(w)$ ) e  $k := \varphi^{-1} \circ \varphi$  (def.  
 su  $\bar{\varphi}'(w)$ ).

$$h: \bar{\varphi}'(w) \xrightarrow{\varphi} w \xrightarrow{\varphi^{-1}} \bar{\varphi}'(w)$$

$$(\lambda, \mu) \xrightarrow{(\lambda, \mu), y(\lambda, \mu), \dots} \xrightarrow{(u(\lambda, \mu), v(\lambda, \mu))}$$

Prop.  $h$  e  $k$  sono diffeomorfismi, cioè  
 appl. differenziali con inverse differenziali.

Dim. Tuttavia della funz. inversa.

Ho  $p \in W$ , considero  $q = \bar{\varphi}'(p) \in U$

Il  $\varphi(q)$  ha rango 2, supp. che sia non  
 nullo il primo minore:

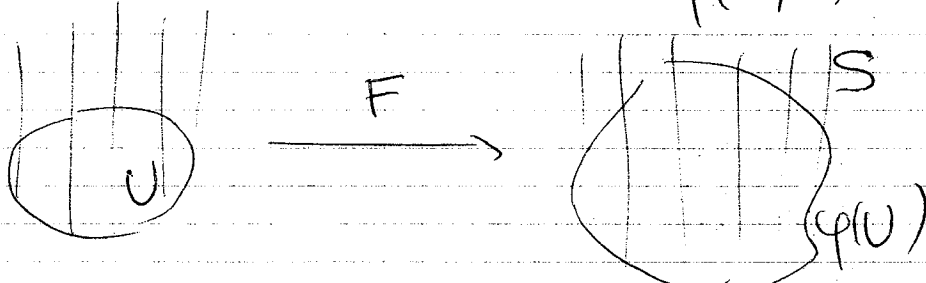
$$\begin{pmatrix} \frac{\partial x(u,v)}{\partial u}(q) & \frac{\partial x(u,v)}{\partial v}(q) \\ \frac{\partial y(u,v)}{\partial u}(q) & \frac{\partial y(u,v)}{\partial v}(q) \end{pmatrix}$$

Definisco

$$F: U \times \mathbb{R} \longrightarrow \mathbb{R}^3$$

$$(u, v, t) \longrightarrow (x(u, v), y(u, v), z(u, v) + t)$$

$$= \varphi(u, v) + (0, 0, t)$$



$$JF = \begin{pmatrix} I_4 & \begin{pmatrix} 0 \\ 0 \\ 1 \end{pmatrix} \end{pmatrix} \quad \text{ha } \det \neq 0 \text{ in } (q, 0)$$

$\Rightarrow f, F'$  differenziali in un intorno di.

$$F(q, 0) = \varphi(q) = P, \text{ in } \mathbb{R}^3.$$

One considers

$$F' \circ \varphi : (\lambda, \mu) \xrightarrow{\varphi} (x(\lambda, \mu), y(\lambda, \mu), z(\lambda, \mu)) \xrightarrow{F'} (u, v, t),$$

$$\text{tale che } F(u, v, t) = (x(\lambda, \mu), y(\lambda, \mu), z(\lambda, \mu))$$

$$(x(u, v), y(u, v), z(u, v) + t)$$

In particolare le prime 2 componenti di  $F' \circ \varphi$  sono 2 funz. diff. di  $(\lambda, \mu)$   $u(\lambda, \mu), v(\lambda, \mu)$ , che rappresentano propri h.

Analogamente per k.

Cor. 1 La def. di funz. diff. su S è ben posta.

se  $f, g$  è diff. in P in coord. locali  $(v, w)$ , lo è anche in coord. locali  $(\lambda, \mu)$ , e per ogni altra carta.

Cor. 2  $k$  è una curva regolare in S,  $\varphi' \circ k = (u(t), v(t))$

Campi rettangolari.

$\mathbb{R}^3$ :  $\forall P \in \mathbb{R}^3$  considero  $T_P \mathbb{R}^3$

Def. Un campo rettangolare euclideo su una sup.  $S \subset \mathbb{R}^3$  regolare è una applicazione  $X: S \rightarrow \mathbb{R}^3$  l.c.  $\forall P \in S \quad X(P) \in T_P \mathbb{R}^3$

$X(P) = (x(P), y(P), z(P))$  terna di funzioni

$X$  è un campo vettoriale normale (tautete) se  $s$  se  $X(p)$  è ortog. a  $T_p(s) \neq P$  (risp.  $X(p) \in T_p(s) \neq P$ ).

Se per es.  $S$  è una sup. reg. parametrizzata da  $\varphi: U \rightarrow S$ , posso def. un campo vettoriale normale differenziabile ponendo  $N(p) = \varphi_u^{(u_0, v_0)} \wedge \varphi_v(u_0, v_0)$  se  $p = \varphi(u_0, v_0)$ .

Tale campo  $N$  è già espreso in coordinate locali.

Separatamente  $\varphi_u$  e  $\varphi_v$  sono campi vett. tauteti (diff.).

Cadizc. di un campo vett. normale è detto op. punto, ma in qualche punto può annullarsi.

Nell'esempio  $N(p) = \varphi_u \wedge \varphi_v$ , più esplicitamente ho

$$N(u, v) = (y_{u2v} - y_{v2u}, x_{u2v} - x_{v2u}, x_u y_v - x_v y_u)$$

Prop. SC  $\mathbb{R}^3$  sup chiuso a di  $f$ , a valore regolare di  $f$  diff.

Il gradiente di  $f$   $\nabla f$  è un campo vett. normale mai nullo su  $S$ .

Dim: Bisogna dim. che  $\nabla f(p)$  è ortogonale a ogni retta tautete in  $P$ .

Sia  $x(t) \subset S$  reg.,  $x(t_0) = P$ ,  $x'(t_0) \in T_P S$

$$\begin{aligned}
 <\nabla f(P), \alpha'(t_0)\rangle &= \langle f_x(x(t_0), y(t_0), z(t_0)), x'(t_0) \\
 &= \langle f_x(x(t_0), y(t_0), z(t_0)), f_y(-), f_z(-) \rangle, (x'(t_0), y'(t_0), z'(t_0)) \rangle \\
 &= f_x(x(t_0))x'(t_0) + f_y(x(t_0))y'(t_0) + f_z(x(t_0))z'(t_0) \\
 &= \left. \frac{d}{dt} (f(x(t), y(t), z(t))) \right|_{t=t_0}
 \end{aligned}$$

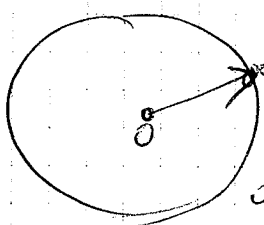
Ma se  $f(x(t), y(t), z(t)) = \alpha \Rightarrow$  la derivata è identicamente nulla.

Inoltre  $\nabla f$  è sempre  $\neq 0$  perché è un valore regolare.

Cor.: la sfera ha ~~che~~  $\nabla f = (2x, 2y, 2z)$

Come campo normale  $\text{def. } N(P)$

Se lo normalizzo ottengo  $N(x, y, z) = (x, y, z)$ :



è il vettore  $\vec{OP}$  applicato in P. In particolare otteniamo che il piano tangente in P è ortogonale al raggio vettore  $\vec{OP}$ .

### Superficie orientabili

Def. Sc  $\mathbb{R}^3$  sup. regolare

S'è orientabile se ammette un campo differenziale normale mai nullo su tutta S, o, equivalentemente, se ammette un campo dif. normale diverso:

Data una parau. locale  $\varphi$ , il campo  $\varphi_u \wedge \varphi_v$  dimostra che  $\varphi(U)$  è

orientabile. Non è detto lo sia globalmente.  
Oppi sup. di lì s'è orientabile.

"Orientare  $S$ " = fissare un campo diff.

di versori normali = determinare

"una faccia di  $S$ " da chiamarsi faccia  
positiva = orientare tutti i piani

tangenti a  $S$ : se fino  $N(p) \perp T_p(S)$

basi perpendicolari di  $T_p(S)$  sono quelle  $e_1, e_2$ .

$$\langle e_1 \wedge e_2, N(p) \rangle > 0$$

Teorema (che dà cond. nec. e suff. perché  
 $S$  sia orientabile).

$S$  è orientabile  $\Leftrightarrow$   $\exists$  un atlante A.t.c.  
se  $P$  appartiene a 2 aperti coordinati di A  
e det jacobians del cambiamento di  
coordinate è  $> 0$  in  $P$ ; ovia!  
sull'intersezione di 2 carte i.e. det  
jacobians del camb. di coord. è  $> 0$ .

Dim:

" $\Leftarrow$ " Sia A un tale atlante; t.c.  
carta  $\varphi(u, v) \xrightarrow{def.} N(u, v) = \frac{\varphi_u \wedge \varphi_v}{\|\varphi_u \wedge \varphi_v\|}$ ,  
versore norm. in  $\varphi(u, v)$ , differenziale.

Sia  $\varphi(\lambda, \mu): V \rightarrow S$  un'altra carta, t.c.  
 $\varphi(U) \cap \varphi(V) \neq \emptyset$ . Il camb. di coord.

$\tilde{\varphi} \circ \varphi$  è dato da  $(u(\lambda, \mu), v(\lambda, \mu))$

differenziali, t.c.  $\varphi(u(\lambda, \mu), v(\lambda, \mu)) =$

$$= \varphi(\tilde{\varphi} \circ \varphi)(\lambda, \mu) = \varphi(\lambda, \mu).$$

$$J(\tilde{\varphi} \circ \varphi) = \begin{pmatrix} u_x & u_y \\ v_x & v_y \end{pmatrix} = u_x v_x - v_x u_x.$$

Una confrontiamo  $N(u, v)$ , def. a partire da  $\ell$ , con l'analogo campo costruito con  $\varphi$ :

$\varphi_u \wedge \varphi_v$  normalizzati

$$\varphi_\lambda = \frac{\partial}{\partial \lambda} (\varphi(u(\lambda, \mu), v(\lambda, \mu))) = \varphi_u u_\lambda + \varphi_v v_\lambda$$

$$\varphi_\mu = \frac{\partial}{\partial \mu} (\varphi(u(\lambda, \mu), v(\lambda, \mu))) = \varphi_u u_\mu + \varphi_v v_\mu$$

$$\varphi_\lambda \wedge \varphi_\mu = (u_\lambda u_\mu) \cancel{\varphi_u \wedge \varphi_v} + (u_\lambda v_\mu - v_\lambda u_\mu) \cancel{\varphi_u \wedge \varphi_v} +$$

$$+ v_\lambda v_\mu \cancel{\varphi_u \wedge \varphi_v}$$

$$= I J(\tilde{\varphi} \circ \varphi) | \varphi_u \wedge \varphi_v$$

Per  $\varphi(U) \cap \varphi(V)$  il det è  $> 0$

quindi i 2 campi normalizzati

conducono ; procedendo così a  
partire da  $(U, \varphi)$  costruisce tutta  $S$ .

" $\Rightarrow$ " Sia  $N: S \rightarrow \mathbb{R}^3$  campo di versori normali. Sia  $A$  un qualunque atlante su  $S$ : poniamo supp. che tutti gli aperti coordinati siano convessi, altrimenti restituiscano le loro comp. convessi.

Fissiamo una carta  $\varphi: U \rightarrow \varphi(U) \subset S$

confronto  $N|_{\varphi(U)}$  con  $\frac{\varphi_u \wedge \varphi_v}{\|\varphi_u \wedge \varphi_v\|}$ : se

sono opposti scambi  $u$  con  $v$ , altrimenti non cambia niente

il prod. scalare

$$\langle N(u, v), \frac{\varphi_u \wedge \varphi_v}{\|\varphi_u \wedge \varphi_v\|} \rangle = \pm 1,$$

essendo una funz. continua su  $\varphi(U)$   
che è connessa, vale sempre 1 o sempre  
 $-1$ .

Quindi per ogni aperto faccio in modo  
che  $N = \frac{\varphi_u \wedge \varphi_v}{\|\varphi_u \wedge \varphi_v\|}$ . Allora se ho

$$\varphi(U) \cap \varphi(V) \neq \emptyset, \text{ la sopra ho}$$

$$\frac{\varphi_u \wedge \varphi_v}{\|\varphi_u \wedge \varphi_v\|} = \frac{\varphi_{j_1} \wedge \varphi_{j_2}}{\|\varphi_{j_1} \wedge \varphi_{j_2}\|} \text{ per quanto}$$

$$\text{visto nella prima parte } |\mathcal{J}(\varphi \circ \varphi)| > 0.$$

Cos'è: se  $S$  è coperta da una carta  
coordinata, o da 2 carte coord. con  
unione connessa,  $S$  è orientabile.

Se 1 carta = uno. le 2 carte, ho  
una sola unione da considerare; se  
 $|\mathcal{J}(\varphi \circ \varphi)| < 0$ , scambio  $(u, v)$ .

Esempio di sup. non orientabile

Il nastro di Möbius.

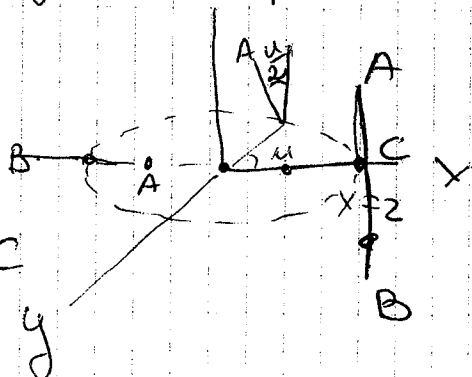
Considero la sf di centro  $O(0,0,0)$  e  
rapp' 2 nel piano  $xy$ :  $x^2 + y^2 = 4$ ,

$$\begin{cases} x = 2 \cos u \\ y = 2 \sin u \\ z = 0 \end{cases}$$

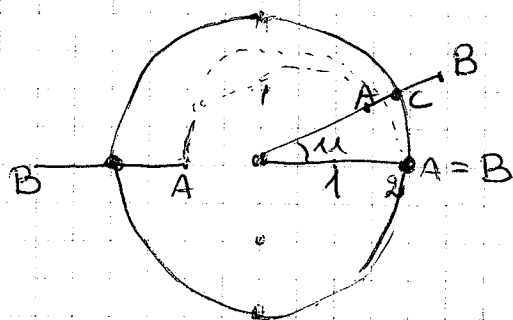
Considero i<sup>o</sup> segmento aperto AB, def. da

$$\begin{cases} x = 2 \\ y = 0 \\ |z| < 1 \end{cases}$$

con punto medio C

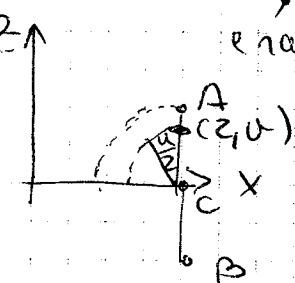


Muovo C sulla circonference  $u(x)$ , e contemporaneamente moto AB intorno a C nel piano generato da C e dall'asse z, siamo che quando C ha percorso l'arco  $\alpha$ , AB abbia ruotato di  $\frac{\alpha}{2}$



Quando C torna al punto di partenza,  $u = 2\pi$ , AB ha ruotato di  $\pi$ , dunque A e B sono scambiati.

Prendo un punto  $(2, 0, v)$  sul segmento AB, con  $0 < v < 1$ ; descrive la circonference di centro  $(2, 0)$  e raggio  $v$  nel piano  $xz$ , partendo



dall'asse verticale

$$\begin{cases} x = 2 - v \sin \frac{\alpha}{2} \\ z = v \cos \frac{\alpha}{2} \end{cases} \text{ perché}$$

Oss. che questa parametrizzazione funziona bene anche per  $v < 0$

Mettendo insieme i 2 moti:

$$x(u, v) = \left(2 - v \sin \frac{\alpha}{2}\right) \cos u$$

$$y(u, v) = \left(2 - v \sin \frac{\alpha}{2}\right) \sin u$$

$$(v \sin \frac{\alpha}{2} + \frac{u}{2}) = -v \sin \frac{\alpha}{2}$$

$$\sin(\frac{\pi}{2} + \frac{u}{2}) = \cos \frac{u}{2}$$

$g$  è def. su  $U$ :  $0 < u < 2\pi$   
 $-1 < v < 1$

Perde i punti sull'asse  $x$  positivo.

Il carto: parto dall'asse  $y$ , quando  
 $u = \frac{\pi}{2}$  e  $AB$  ha rotato di  $\frac{\pi}{2}$ .

uso cond. locali  $\bar{u}, \bar{v}$ :

$$\bar{u} \text{ parte da } 0 \quad \text{e} \quad \begin{cases} \bar{u} = u - \frac{\pi}{2} \\ \bar{v} = v \end{cases}$$

Allora  $\begin{cases} \cos u = \cos(\bar{u} + \frac{\pi}{2}) = -\sin \bar{u} \\ \sin u = \cos \bar{u} \end{cases}$

La gf era  $\vec{r}(-2\sin \bar{u}, 2\cos \bar{u})$

$$AB : (2 - \bar{v} \sin(\frac{\bar{u}}{2} + \frac{\pi}{4}), \bar{v} \cos(\frac{\bar{u}}{2} + \frac{\pi}{4}))$$

$$\begin{cases} x(\bar{u}, \bar{v}) = -(2 - \bar{v} \sin(\frac{\bar{u}}{2} + \frac{\pi}{4})) \sin \bar{u} \\ y(\bar{u}, \bar{v}) = (2 - \bar{v} \sin(\frac{\bar{u}}{2} + \frac{\pi}{4})) \cos \bar{u} \\ z(\bar{u}, \bar{v}) = \bar{v} \cos(\frac{\bar{u}}{2} + \frac{\pi}{4}) \end{cases}$$

$$0 < \bar{u} < 2\pi \iff -\frac{\pi}{2} < u < \frac{3}{2}\pi$$

non trovo i punti sull'asse  $y > 0$

Allora  $\psi(U) \cap \psi(V)$  è scomento

$W_1 \cup W_2$  close

$W_1$ : punti tra asse  $x > 0$  e asse  $y > 0$   
in verso antiorario

$W_2$ : tra le asse  $y > 0$  e asse  $x > 0$

su  $W_2$ :  $0 < u < \frac{3}{2}\pi$ ,  $\frac{\pi}{2} < v < \frac{5}{4}\pi$

$$\begin{cases} \bar{u} = u - \frac{\pi}{2} \\ \bar{v} = v \end{cases}$$

su  $W_1$ :  $\frac{3\pi}{2} < \bar{u} < 2\pi$ ,  $0 < v < \frac{\pi}{2}$

$$\text{Allora } (\bar{u} = (u - \frac{\pi}{2}) + 2\pi = u + \frac{3}{2}\pi$$

$$\begin{cases} \bar{v} = -v & \text{(perde simmetria con } u \text{ d'arriu)} \\ & \text{dopo un angolo di } 2\pi \text{ risp. a } v \end{cases}$$

$$J = \begin{pmatrix} 1 & 0 \\ 0 & -1 \end{pmatrix} \text{ su } W_1$$

$$J = \begin{pmatrix} 1 & 0 \\ 0 & 1 \end{pmatrix} \text{ su } W_2$$

Imponibile eff. N su tutta S.

Oss-

Se dimostra che ogni sup. regolare compatta e orientabile è esprimibile come sup. di livello di una funz. diff. di 3 variabili. Considera Do Carmo: si costruisce un intorno tubolare di S h.c. i segmenti di retta normale non si intersecano fra loro, la funzione è la distanza orientata dal piede della perpendicolare. Si dimostra anche che ogni superficie regolare compatta è orientabile (1869).